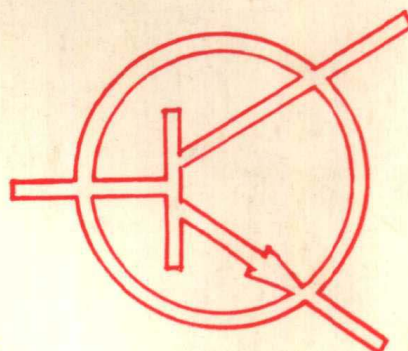


晶体管应用

上海元件五厂特性应用组编



上海元件五厂情报资料室

1970

最 高 指 示

中國人民有志氣，有能力，一定要在
不遠的將來，趕上和超過世界先進水平。

我們一定要鼓一把勁，一定要學習並
且完成這個歷史所賦予我們的偉大的技術
革命。

抓革命、促生產、促工作、促戰備。

提高警惕、保衛祖國、要準備打仗。

我們的方針要放在什麼基點上？放在
自己力量的基點上，叫做自力更生。

编印说明

这份资料是我厂特性应用组，根据他们的工作，从1969年初—1970年初，分六辑以单印本形式，陆续编写的，为了满足广大工人同志，革命科技人员的需要，我们特请应用组从这六辑中选出了部分文章，进行了一些修改，再把它汇集而成的。

由于我们水平很低，工作又做得很粗糙，错误和缺点一定在所难免，敬请同志们批评指正。

上海元件五厂情报资料室

1970年3月

目 录

(1) 高反压平面晶体管 2G712 特性和应用.....	1
(2) 3DK5, 3DK6, 3DG13, 3DG14 超小型晶体管 特性及应用.....	23
(3) 2Z730 PNP 型 锗低频大功率晶体管的特性和应用.....	53
(4) 晶体管的雪崩特性及其应用.....	79
(5) 3DK2、3DK3 小功率晶体管应用——开关电路.....	90
(6) 晶体管在钟表上的一些应用.....	107
(7) 晶体管斩波器.....	113
(8) 晶体管石英振荡器.....	123
(9) 晶体管串接应用实验.....	130
(10) 双基极二极管的几个应用电路.....	139
(11) 晶体管“D”类放大器的初试与展望.....	146
(12) 《差值运算放大器简介》——介绍 5G922 线性电路.....	157
(13) “UJ-1 电位差计”用精密稳压电源的计算与实验.....	172
(14) 晶体管的热阻.....	178
(15) 低功率硅晶体管热阻的简易测量方法.....	183
(16) 大功率晶体管热阻与电流、电压和散热板面积关系的 实验报告.....	188
(17) 晶体管的可靠性及例行试验简介.....	200

高反压平面晶体管 2G712 特性和应用

一、引言

硅平面晶体管问世以来，已经得到极为广泛的应用。通常，平面晶体管的击穿电压仅仅只有几伏至几十伏，这就限制了晶体管的使用范围。在雷达、电视、计算机及一些特殊设备中均要求晶体管有较高的耐压。2G712 就是为着这个要求而设计试制的。

一般地讲，平面晶体管在提高耐压方面受到两种因素的限制：平面结的击穿电压受到表面电场的限制，即使在表面达到平直能带条件，但由于平面结构中的曲率，使其表面电场远大于体内而降低了击穿电压；其次由于二氧化硅中存在氧空位和钠离子，当二氧化硅 (SiO_2) 上具有一定正电位时，正离子向二氧化硅的交界面迁移，于是在硅的表面感生一层电子，对 P 型硅形成表面反型层，即表面感应沟道，对 N 型硅，则使电阻率降低，导致表面击穿。

2G712 高压平面晶体管则针对上述限制，在设计和工艺上进行了附加考虑，以提高耐压。

2G712 除了适当选取材料的电阻率以外尚采取下述设计和工艺：

1. 增加平面结的结曲率半径，击穿电压随着结曲率半径 X_j 的增加而增加；

2. 采用扩展基极接触结构。利用平面管制造工艺中的适当铝金属化和键合技术，来控制二氧化硅中正离子的数目使之保持到最小值，并改变平面结的表面电位（参看图 1）；

3. 加入环行保护带。利用扩散技术制造高杂质浓度的环形保护带，以切断表面感应沟道，提高击穿电压；

4. 二氧化硅膜中掺磷。利用磷硅酸盐层稳定二氧化硅膜，以控制二氧化硅中正离子数目、运动及分布。

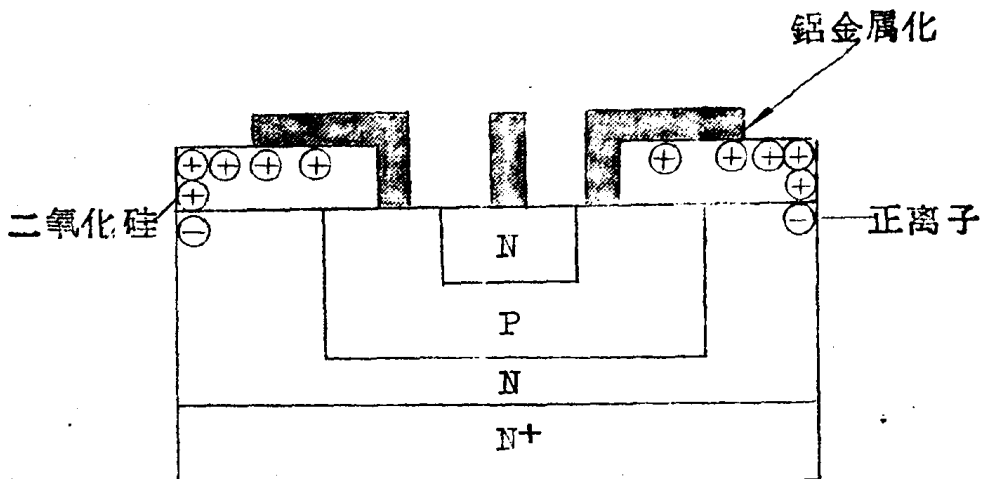


图1 具有扩展基极接触的平面晶体管

由于采用了上述一些工艺上的措施，使 2G712 管在击穿电压上可以达到 150 伏以上，成为一个高反压平面晶体管。

二、 2G712 的指标及特性

2G712 的主要电参数规范及典型测试条件列于表 1 。

表 1 2G712 主要技术性能 ($T_a = 25^\circ C$)

参 数 符 号	直 流 参 数			交 流 参 数			参 数			板 限 参 数			板 限 参 数					
	I_{CB0}	I_{EB0}	I_{CE0}	V_{BE}	V_{CE}	$hFE_{(sat)}$	f_T	C_{ob}	C_{ib}	t_{on} *	BV_{CB0}	BV_{EB0}	BV_{CE0}	I_{CM}	R_{Ti}	P_{CM}	β_M	
单 位	μA	μA	μA	V	V	-	MHz	PF	PF	η_S	V	V	V	mA	$%W$	W	α_C	
测 试 条 件	$V_{EB} = V_{CB} = V_{CE} = 25V$	$I_B = 50mA$	$I_E = 5mA$	30	$30MHz$	$I_C = I_C = f = 300$	$5MHz$	$f = 5MHz$	$I_B = 15mA$	$I_{CB} = I_{CE} = I_{BE} = 15mA$	$= 15mA$	$100mA$	$100mA$	$100mA$	-	-	-	
规 范	$A \leq 1$	≤ 1	≤ 1	≤ 1.5	≤ 1	≥ 10	≥ 10	≥ 100	≤ 10	≤ 80	≤ 55	≤ 380	100	5	100	300	150	175
	$B \leq 1$	≤ 1	≤ 1	≤ 1.5	≤ 1	≥ 10	≥ 10	≥ 100	≤ 10	≤ 80	≤ 55	≤ 380	100	5	100	300	150	175
	$C \leq 1$	≤ 1	≤ 1	≤ 1.5	≤ 1	≥ 10	≥ 10	≥ 100	≤ 10	≤ 80	≤ 55	≤ 380	150	5	150	300	150	175

开关时间的典型测量电路示于图 2。

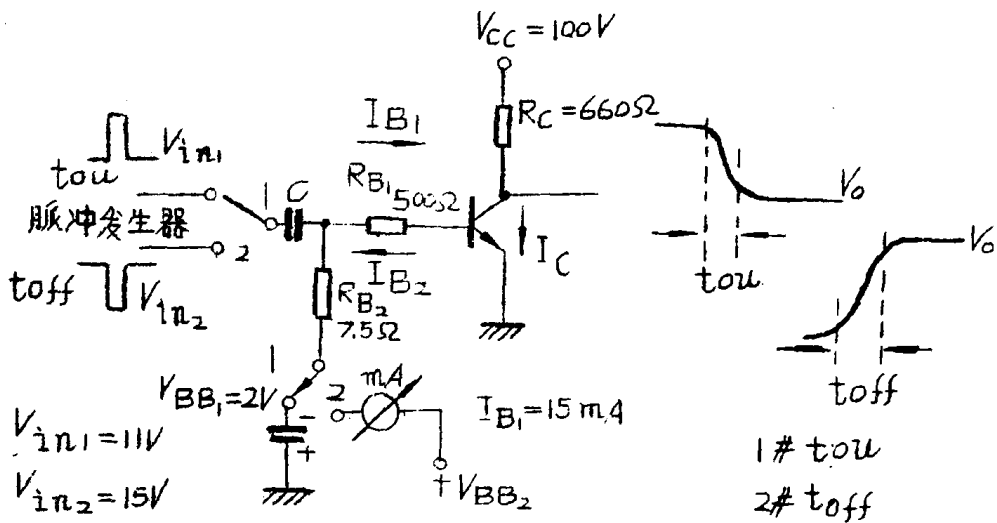


图 2 2G712 开关时间测量电路

图 2 中：

$$\left\{ \begin{array}{l} I_C = \frac{V_{CC} - V_{CE(\text{sat})}}{R_C} = 150 \text{ mA} \\ I_{B_1} = \frac{(V_{in_1} - V_{BB_1}) - V_{BE(\text{sat})}}{R_{B_1}} = 15 \text{ mA} \\ I_{B_2} = \frac{V_{in_2} - V_{BE(\text{sat})}}{R_{B_2}} - I_{B_1} = 15 \text{ mA} \end{array} \right.$$

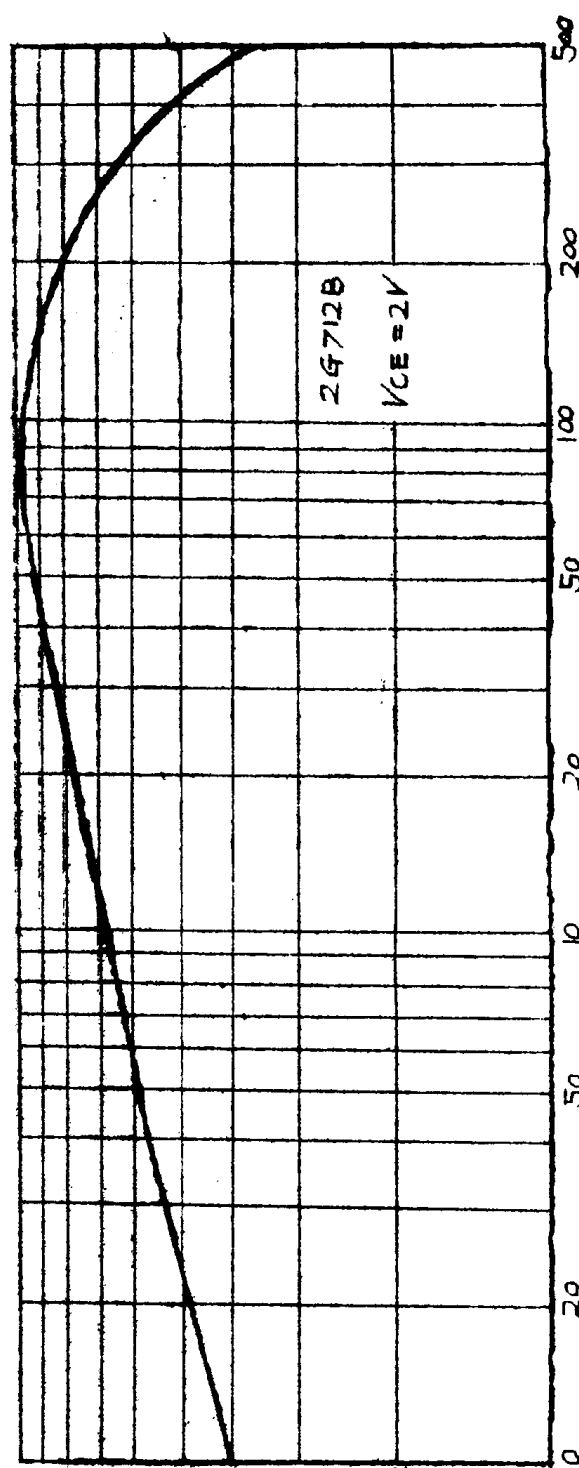
从表 1 可知，2G712 具有较为完整的参数及较好的性能。由此可见，2G712 其主要用途是作高压线性放大及高压中速开关。在作高压线性放大用时，要求在小电流情况下有较大的放大特性，在作高压开关时，则要求它具有电流脉冲特性。为此，规定在 $I_C = 5 \text{ mA}$ 下及 $I_C = 300 \sim 500 \text{ mA}$ 下测试其电流放大系数。

2G712 在较大的电流范围内有较平坦的放大特性，这是这个管子的一个较为优越的特性，图3示出了归一化的 h_{FE} - I_C 特性曲线，在集电极电流从 1mA 到 500 mA 范围内， h_{FE} 的变化约在 0.6 左右。在 50~100 mA 范围内 h_{FE} 达最大值。从图3可知，2G712 作为高压线性放大，若在 1~5 mA 范围内则线性稍差。

作为高压中速开关管，2G712 具有较小的饱和压降，可以在大电流下工作，图4示出了 2G712 的 $V_{CE(sat)}$ 、 $V_{BE(sat)}$ 与 I_C 的关系曲线。在 $I_C = 500$ mA 时 $V_{CE(sat)}$ 约为 0.4 伏、 $V_{BE(sat)}$ 约为 1 伏。

图5到图8是 2G712 的输入、输出特性曲线(共发)。

图9到图11是 2G712 击穿电压，电流放大系数及内压降的特性曲线。从这些曲线可以看出 2G712 在较宽的温度变化范围内这些参数的变化等。



归一化共发射极电流放大系数

图3 归一化的 h_{FE} ~ I_C 特性

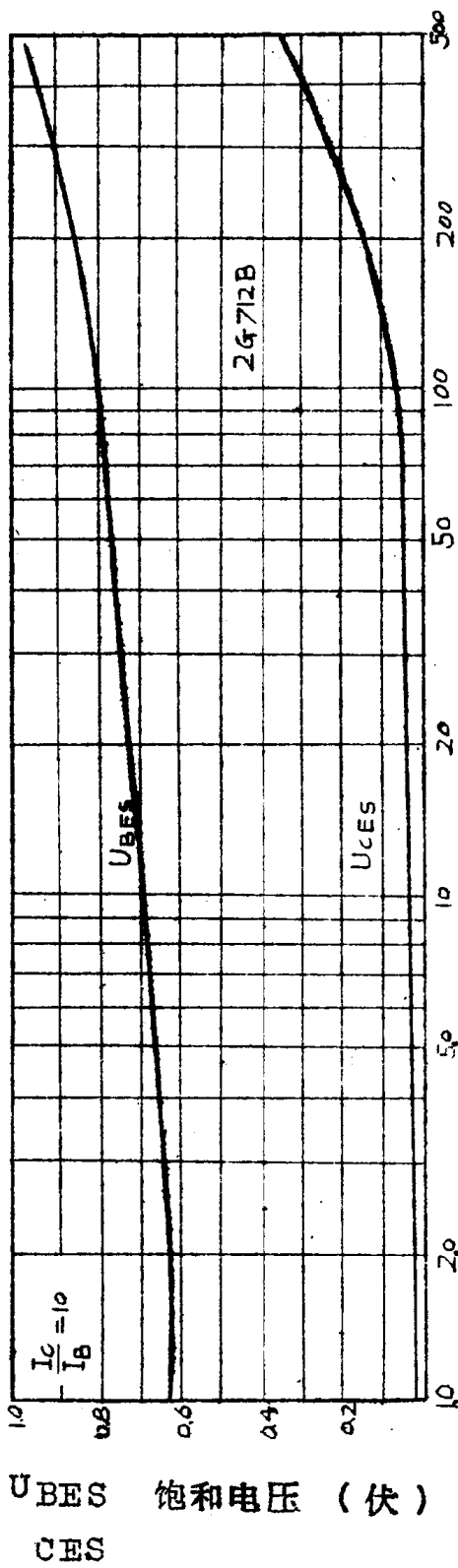


图 4 $V_{CE(sat)}, V_{BE(sat)} \sim I_C$ 曲线

I_C 集电极电流 (毫安)

图 6 大电流输出特性

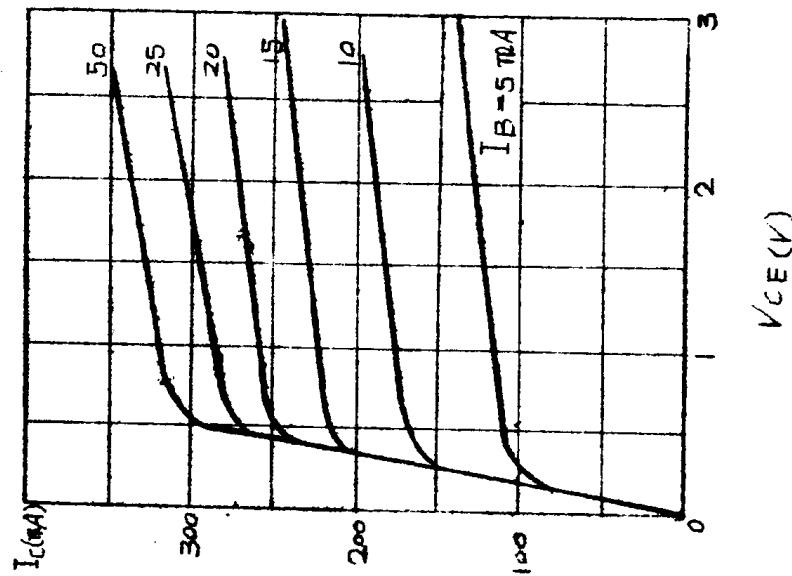
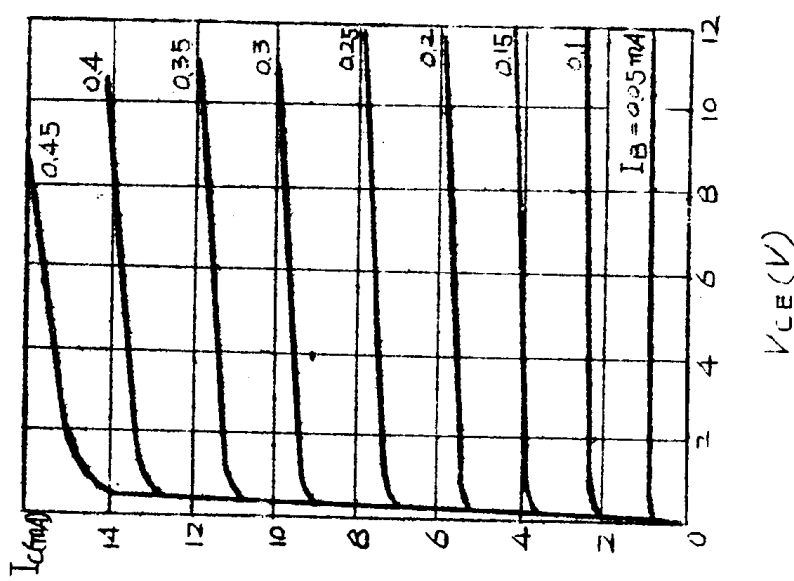


图 5 小电流输出特性



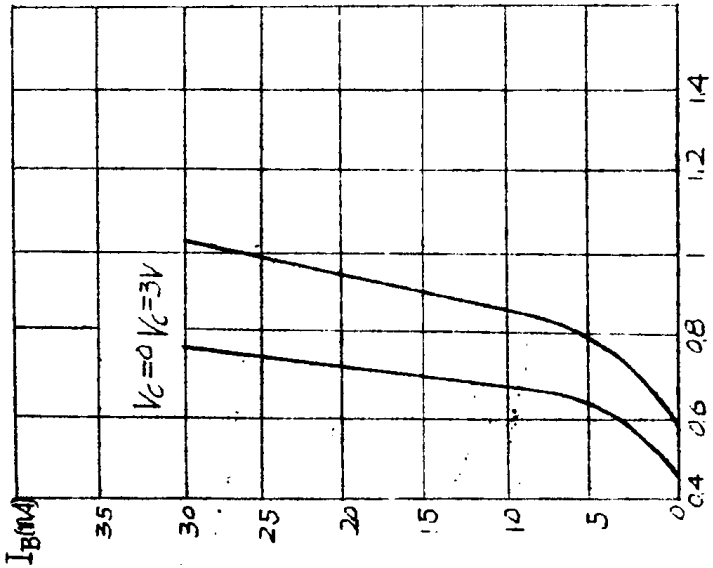


图 8 共发射输入特性
 V_{BE} (V)

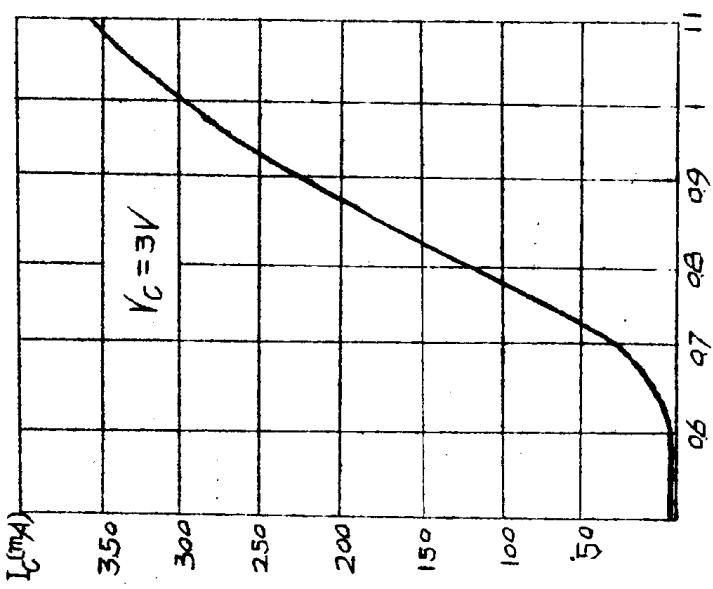


图 7 I_c-V_{BE} 关系曲线

图 10 h_{FE} ~ 环境温度曲线

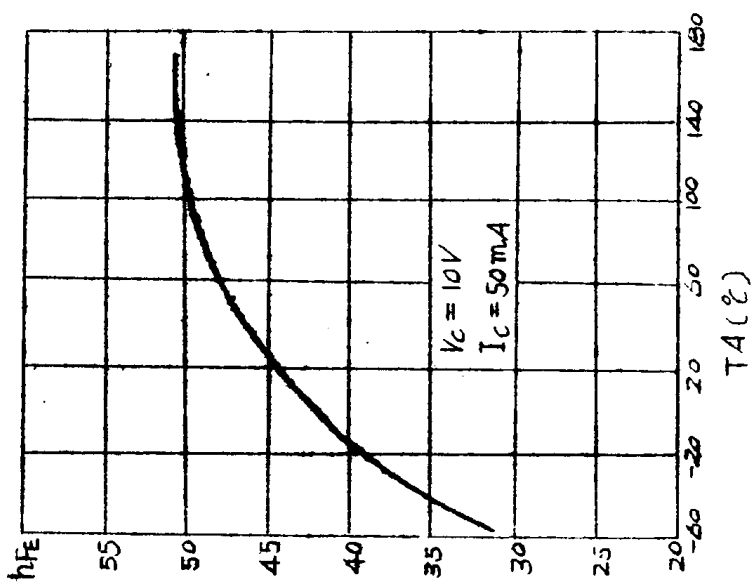
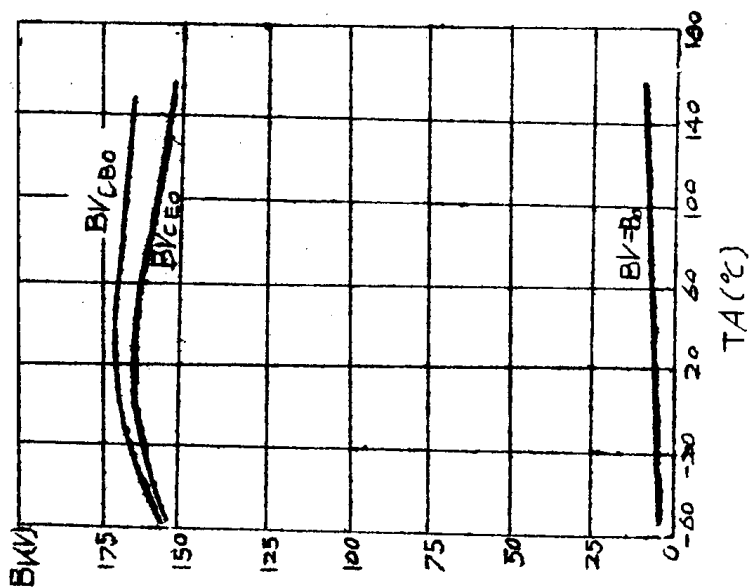


图 9 击穿电压 ~ 环境温度曲线



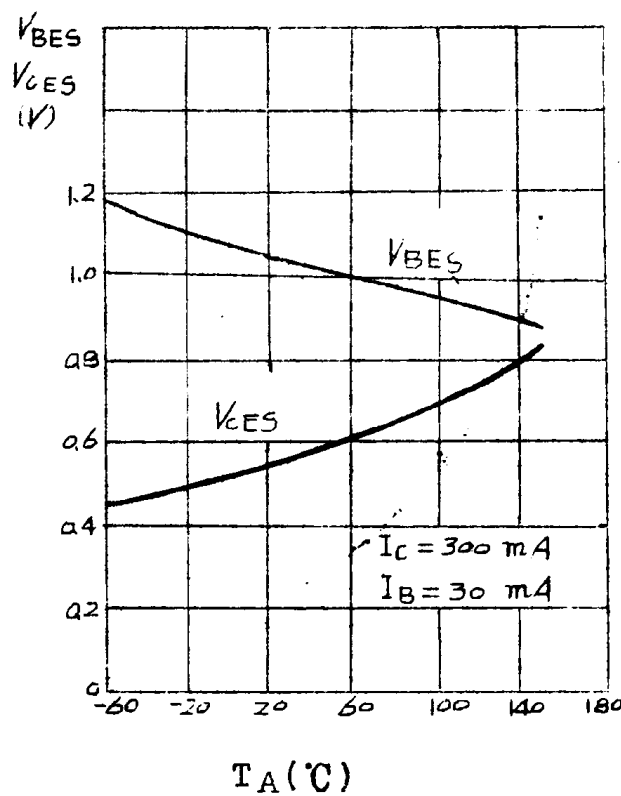


图 1 1 $V_{BE(S)}$ 、 $V_{CE(S)}$ ~ 环境温度曲线

图 1 2 到图 1 4 是 2G712 频率特性与工作电压及电流以及与温度的依从关系。从图 1 2 可知 2G712 在 I_C 从 5 ~ 10 mA 的小电流运用下，其增益频宽 f_T 在 120 到 160 MC/S，作为视频放大是适宜的。从图 1 3 可见 f_T 与工作电压 V_{CE} 关系不明显， V_{CE} 从 10 伏 ~ 100 伏范围内仅相差 40 MC 左右。图 1 4 是 f_T 与环境温度的依从关系随着温度升高 f_T 直线下降，使用时必须考虑这一因素。

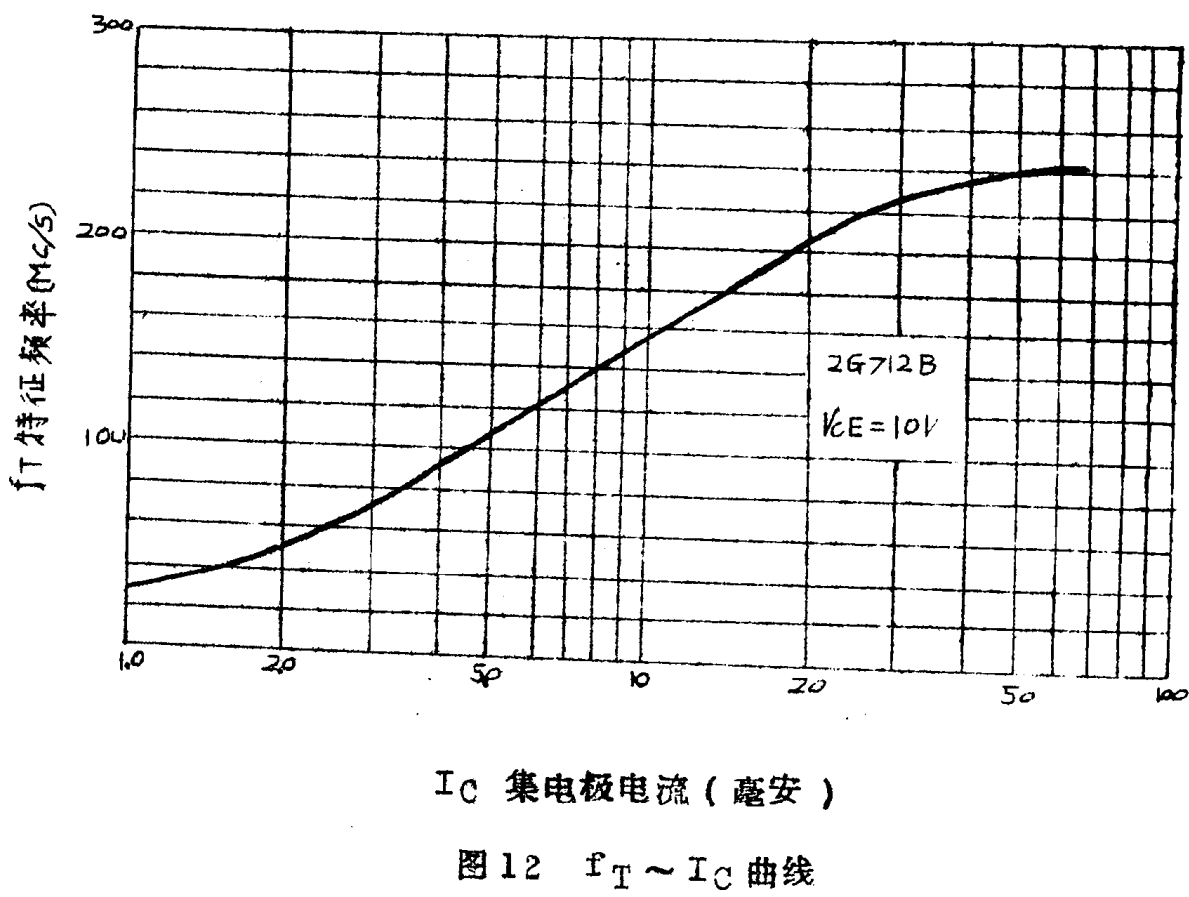
图 1 5 到图 1 8 是 2G712 的等效网络参数的特性曲线。图 1 5 是 2G712 的输入电容与输出电容随电压 V_{CE} 的变化曲线。作为开关运用 C_{ib} 与 V_{CE} 的变化关系是十分有用。

图 1 6 是 $r_{bb'}$ 与 I_C 及工作频率的关系曲线。实际上这种曲线就测量方法而言只是测它的输入电阻，只有当测量频率大于其截止频率时才是真实的 $r_{bb'}$ 值。

图17是小信号 h_{ie} 、 h_{fe} 和 h_{oe} 与 I_C 的关系曲线。

作为一个中速开关管的 2G712，其不同脉冲电流下的开关参数的实测曲线示于图18。图中给出了开启时间 t_{on} 和关闭时间 t_{off} 与脉冲电流 I_{CP} 的依从关系。

以上提供的曲线，只是说明了 2G712 一些电性能参数的变化规律，它仅供便用者在作电路设计时参考。



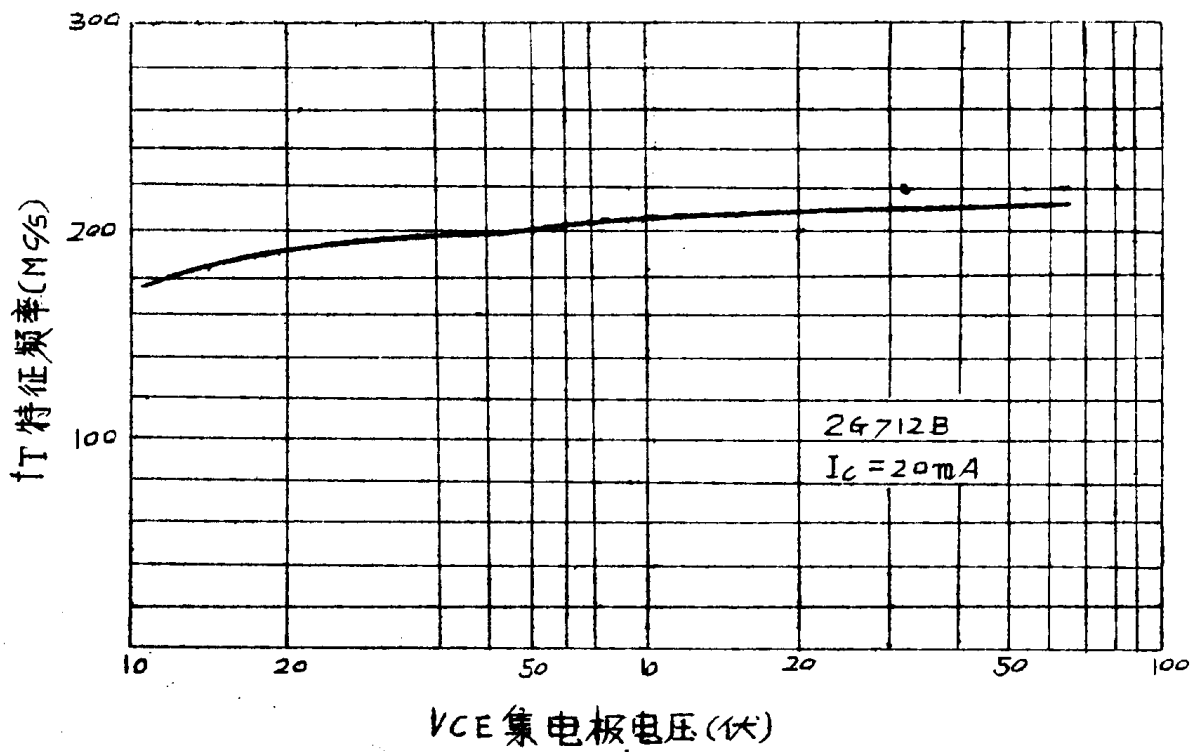
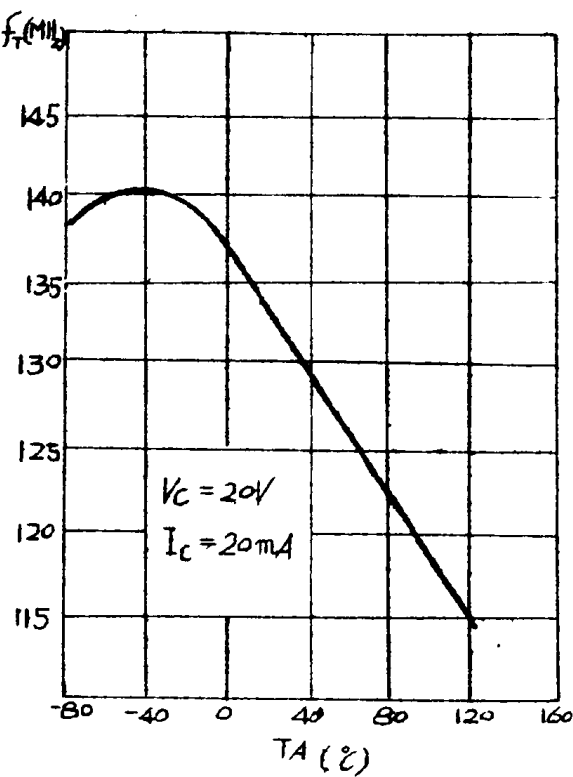


图 1.3 $f_T \sim V_{CE}$ 曲线

图 1.4 $f_T \sim T_A$ 曲线



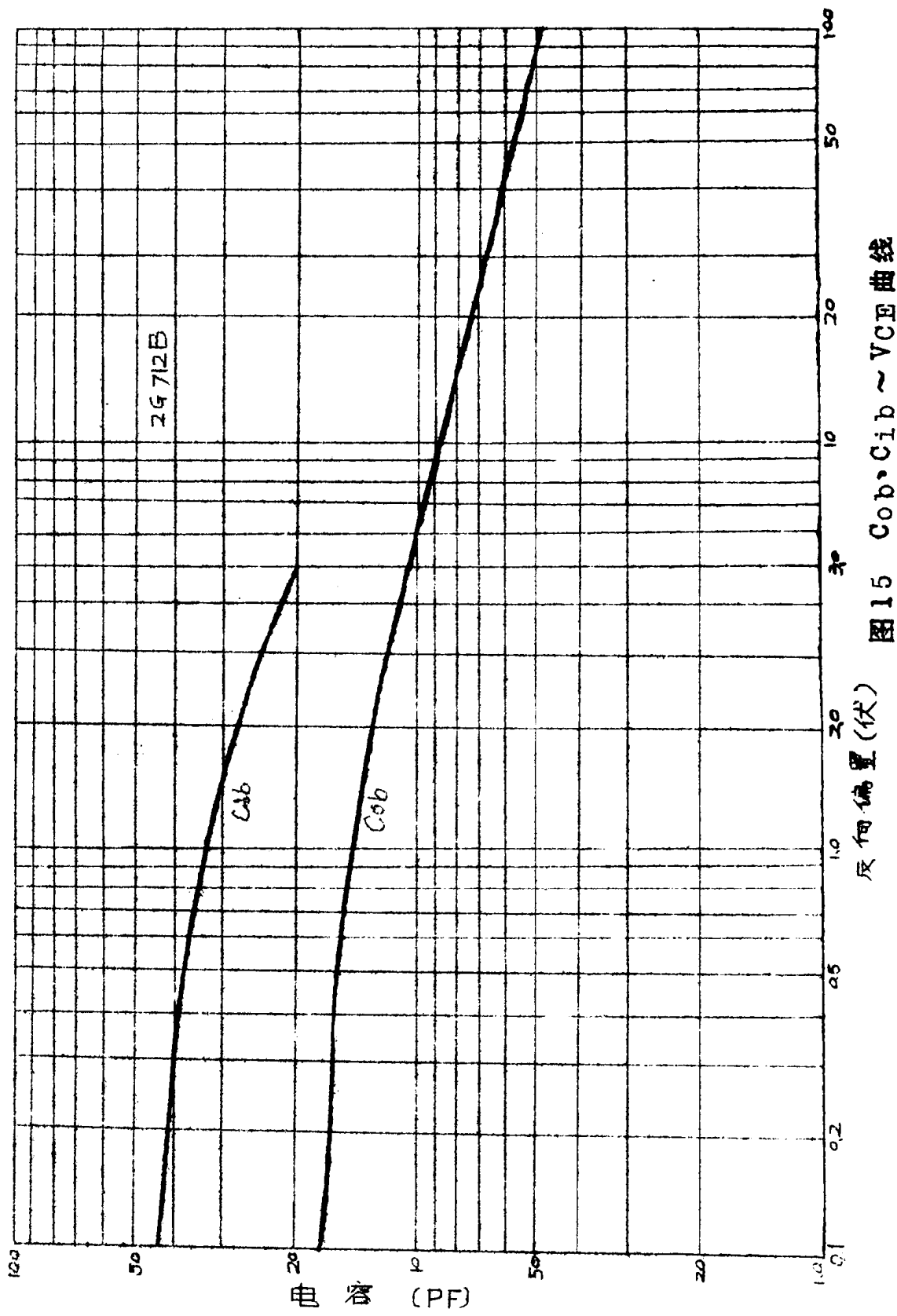


图 15 $C_{OB}, C_{IB} \sim V_{CB}$ 曲线